



Laboratorium Badań Środowiskowych
ul. Kasprzaka 18/20
01-211 Warszawa
e-mail: Laboratorium@networks.pl



AB 419

S P R A W O Z D A N I E 1331/2021/OS
Z POMIARÓW PÓL ELEKTROMAGNETYCZNYCH
WYKONANYCH DLA POTRZEB OCHRONY ŚRODOWISKA

Badany obiekt: Instalacja radiokomunikacyjna T-Mobile Polska S.A.
Numer i nazwa: 49573 (79073N!) PWA_WALBRZYCH_STRZEGOMSKA
Adres: WAŁBRZYCH, ZAGÓRZAŃSKA 34a, WAŁBRZYCH, DOLNOŚLĄSKIE

Data wykonania pomiarów: 2021-02-17

Sprawozdanie z badań bez pisemnej zgody laboratorium nie może być powielane inaczej niż w całości.
Wynik przedstawione w niniejszym sprawozdaniu odnoszą się wyłącznie do badanego obiektu i do warunków i konfiguracji urządzeń w dniu wykonywania pomiarów.

1. Właściciel badanego obiektu:

T-Mobile Polska S.A., ul. Marynarska 12, 02-674 Warszawa

2. Zleceniodawca:

T-Mobile Polska S.A., ul. Marynarska 12, 02-674 Warszawa

3. Przedstawiciel zleceniodawcy:

NetWorkS! Sp.z o.o.

4. Zakres zlecenia:

Wykonanie badania i opracowanie sprawozdania z pomiarów natężenia pola elektrycznego i pola magnetycznego dla instalacji radiokomunikacyjnej T-Mobile Polska S.A. zlokalizowanej w miejscowości WAŁBRZYCH, ZAGÓRZAŃSKA 34a.

5. Cel zlecenia:

Wykonanie pomiarów pól elektromagnetycznych w otoczeniu instalacji radiokomunikacyjnej 49573 (79073N!) PWA_WALBRZYCH_STRZEGOMSKA w odniesieniu do wymagań określonych w *Rozporządzeniu Ministra Klimatu z dnia 17 lutego 2020 r. w sprawie sposobów sprawdzania dotrzymania dopuszczalnych poziomów pól elektromagnetycznych w środowisku (Dz. U. 2020, poz. 258)*.

6. Pomiary zostały wykonane przez:

Harbacewicz Maciej
Ciesielski Daniel

7. Informacje o źródłach pól elektromagnetycznych

7.1. Sposób identyfikacji badanych źródeł pól elektromagnetycznych

Identyfikacji źródeł i parametrów technicznych dokonano na podstawie analizy dokumentacji dotyczącej zlecenia oraz obserwacji miejsca wykonywania badań.

7.2. Opis miejsca zainstalowania anten i urządzeń technicznych. Opis obiektu badań i jego otoczenia

Instalacja radiokomunikacyjna zlokalizowana jest na terenie ogrodzonym. Anteny zawieszono na wieży kratowej. Urządzenia sterujące oraz zasilające zainstalowano w kontenerze u podstawy wieży. Wokół instalacji tereny zielone, nieużytki.

Instalacja radiokomunikacyjna jest obiektem bezobsługowym. Okresowe stanowiska pracy związane są z prowadzonymi w zależności od potrzeb konserwacjami, przeglądami, strojeniem i naprawami.

7.3. Parametry techniczne źródła pola elektromagnetycznego

Dane przedstawiające maksymalne parametry pracy instalacji przekazane przez zleceniodawcę:

Parametry systemu nadawczo-odbiorczego:

Charakterystyka promieniowania		kierunkowa					
Rzeczywisty czas pracy [h/dobę]		24					
Warunki pracy		znamionowe					
Rodzaj wytwarzanego pola		stacjonarne					
Lp.	Częstotliwość lub zakresy częstotliwości pracy [MHz]	Typ/producent anteny	liczba anten	Azymut [°]	kąt pochylenia [°] *	Wysokość środka elektrycznego anteny [m n.p.t.]	Równoważna moc promieniowana izotropowo (EIRP) [W]
1	2100/ 900/ 2100/ 1800/ 900	ATR4518R6v06 Huawei	1	0	6/ 6/ 6/ 6/ 6	40	9988
2	800/ 2600	ATR4518R6v06 Huawei	1	0	6/ 6	40	9965
3	1800/ 900/ 900/ 2100/ 2100	ATR4518R6v06 Huawei	1	120	6/ 6/ 6/ 6/ 6	40	9988
4	2600/ 800	ATR4518R6v06 Huawei	1	120	6/ 6	40	9965
5	2100/ 900/ 2100/ 1800/ 900	ATR4518R6v06 Huawei	1	240	6/ 7/ 6/ 6/ 7	40	9988
6	800/ 2600	ATR4518R6v06 Huawei	1	240	6/ 6	40	9965

* wskazane wartości kąta pochylenia anten, zgodnie z informacją uzyskaną od zleceniodawcy, są wartościami stałymi

Parametry radiolinii:

Charakterystyka promieniowania		kierunkowa					
Rzeczywisty czas pracy [h/dobę]		24					
Warunki pracy		znamionowe					
Rodzaj wytwarzanego pola		stacjonarne					
Lp.	Linia radiowa			Antena			
	Typ/ Producent	Częstotliwość pracy [GHz]	Równoważna moc promieniowana izotropowo (EIRP) [W]*	Typ/ producent	Średnica anteny [m]	Azymut (°)	Wysokość zainstalowania n.p.t [m]
1.	NP ERICSSON ML 6363 23GHz 28MHz Ericsson	23	5370.32	ANT2/2_0.6 23/80 HP/HP Ericsson	0.6	145	40
2.	NEC iPasolink 200	38	14.1	VHLP1-38 Andrew	0.3	187	40
3.	NP ERICSSON ML 6352 70/80GHz 250MHz Ericsson	80	1584.9	UKY 220 52/SC15 Ericsson	0.3	196	40

7.4 Inne źródła pól elektromagnetycznych

Na podstawie informacji otrzymanych od użytkownika oraz obserwacji otoczenia miejsca wykonywania pomiarów oraz dokumentacji nie stwierdzono występowania innych źródeł promieniowania elektromagnetycznego, które w zakresie badanych częstotliwości mogą bezpośrednio wpływać na wynik wartości mierzonej.

8. Opis pomiarów

8.1. Metoda badań

Sprawozdanie z badań bez pisemnej zgody laboratorium nie może być powielane inaczej niż w całości. Wynik przedstawione w niniejszym sprawozdaniu odnoszą się wyłącznie do badanego obiektu i do warunków i konfiguracji urządzeń w dniu wykonywania pomiarów.

Zgodna z rozporządzeniem Ministra Klimatu z dnia 17 lutego 2020 r. w sprawie sposobów sprawdzania dotrzymania dopuszczalnych poziomów pól elektromagnetycznych w środowisku (Dz. U. 2020, poz. 258), określona w pkt 25 ppkt 1 załącznika do niniejszego rozporządzenia.

Zgodnie z art. 122a ust. 1b ustawy Prawo Ochrony Środowiska, w przypadku wprowadzenia na części albo całym terytorium Rzeczypospolitej Polskiej stanu nadzwyczajnego, o którym mowa w art. 228 ust. 1 Konstytucji Rzeczypospolitej Polskiej z dnia 2 kwietnia 1997 r. (Dz. U. poz. 483, z 2001 r. poz. 319, z 2006 r. poz. 1471 oraz z 2009 r. poz. 946), lub stanu zagrożenia epidemicznego lub stanu epidemii, o których mowa w art. 46 ustawy z dnia 5 grudnia 2008 r. o zapobieganiu oraz zwalczaniu zakażeń i chorób zakaźnych u ludzi (Dz. U. z 2019 r. poz. 1239, z późn. zm.8)), pomiarów , nie przeprowadza się w lokalach mieszkalnych oraz w lokalach użytkowych zlokalizowanych na terytorium objętym stanem nadzwyczajnym, stanem zagrożenia epidemicznego lub stanem epidemii.

W związku z obecnie obowiązującym stanem epidemii, pomiarów nie wykonano w lokalach mieszkalnych oraz w lokalach użytkowych zlokalizowanych w obszarze pomiarowym przedmiotowej instalacji radiokomunikacyjnej.

8.2. Termin pomiarów i warunki środowiskowe

Podczas wykonywania pomiarów pól elektromagnetycznych nie występowały opady atmosferyczne. Wyniki pomiaru parametrów pogodowych przedstawia poniższa tabela:

Data [rrrr-mm-dd]	Godzina [hh:mm-hh:mm]	Warunki środowiskowe			
		Temperatura [°C]		Wilgotność względna [%]	
2021-02-17	15:20-16:30	Przed pomiarem	Po pomiarach	Przed pomiarem	Po pomiarach
		3.2	3.1	69.6	69.5

8.3. Warunki pracy urządzeń nadawczych

Podczas pomiarów zostały uwzględnione poprawki pomiarowe przekazane przez zleceniodawcę, umożliwiające uwzględnienie maksymalnych parametrów pracy instalacji zgodnie z pkt 7 załącznika do Rozporządzeniem Ministra Klimatu z dnia 17 lutego 2020 r. w sprawie sposobów sprawdzania dotrzymania dopuszczalnych poziomów pól elektromagnetycznych w środowisku (Dz. U. 2020, poz. 258).

8.4. Wyposażenie pomiarowe

Zestaw pomiarowy służący do pomiaru natężenia składowej elektrycznej pola elektromagnetycznego złożony z szerokopasmowego miernika i sondy pomiarowej:

Oznaczenie miernika	Producent	Model	Numer fabryczny	Oznaczenie sondy	Producent	Model	Numer fabryczny
M-17	Narda Safety Test Solution	Miernik pól elektromagnetycznych NBM-550	H-0128	S-18	Narda Safety Test Solution	Sonda EF-0391	D-1437

Mierniki natężenia pola elektromagnetycznego podlegają okresowemu sprawdzeniu zgodnie z procedurą wewnętrzną P-03 i PB-01. Świadczenie wzorcowania zestawu pomiarowego z dnia 10 kwietnia 2019 o numerze LWiMP/W/121/19 wydane przez Laboratorium Wzorców i Metrologii Pola Elektromagnetycznego (LWiMP) Politechniki Wrocławskiej.
Data ważności świadectwa wzorcowania: 10 kwietnia 2021 (zgodnie z procedurą wewnętrzną P-03).

Oznaczenie miernika	Producent	Model	Numer fabryczny	Oznaczenie sondy	Producent	Model	Numer fabryczny
M-17	Narda Safety Test Solution	Miernik pól elektromagnetycznych NBM-550	H-0128	S-17	Narda Safety Test Solution	Sonda EF-9091	A-0056

Mierniki natężenia pola elektromagnetycznego podlegają okresowemu sprawdzeniu zgodnie z procedurą wewnętrzną P-03 i PB-01. Świadczenie wzorcowania zestawu pomiarowego z dnia 10 kwietnia 2019 o numerze LWiMP/W/121/19 wydane przez Laboratorium Wzorców i Metrologii Pola Elektromagnetycznego (LWiMP) Politechniki Wrocławskiej.
Data ważności świadectwa wzorcowania: 10 kwietnia 2021 (zgodnie z procedurą wewnętrzną P-03).

Sprawozdanie z badań bez pisemnej zgody laboratorium nie może być powielane inaczej niż w całości.
Wynik przedstawione w niniejszym sprawozdaniu odnoszą się wyłącznie do badanego obiektu i do warunków i konfiguracji urządzeń w dniu wykonywania pomiarów.

Termohigrometr:

Oznaczenie:	TH-13	Producent:	AZ INSTRUMENT CORP	Model:	Termohigrometr AZ8706
-------------	-------	------------	--------------------	--------	-----------------------

Data ważności świadectwa wzorcowania: 30 grudnia 2022 (zgodnie z procedurą wewnętrzną P-03).

Dalmierz:

Oznaczenie	Producent	Typ	Numer seryjny	Nr świadectwa wzorcowania	Data świadectwa wzorcowania
D-10	Leica	Dalmierz laserowy	1042956690	4609.13-M11-4180-1748/14	9 stycznia 2015

Data ważności świadectwa wzorcowania: 9 stycznia 2025 (zgodnie z procedurą wewnętrzną P-03).

9. Wyniki pomiarów

Pole elektryczne

Nr pionu	Opis umiejscowienia pionu (punktu pomiarowego)	Wysokość pomiaru [m]	Zmierzona wartość natężenia pola elektrycznego E [V/m] ^{1,5}			Wartość natężenia pola elektrycznego po uwzględnieniu poprawek pomiarowych powiększona o niepewność pomiaru ⁴ E [V/m]	Wskaźnikowa wartość poziomu emisji pól elektromagnetycznych WMe ³	Współrzędne geograficzne pionu (punktu pomiarowego) ²
			Sonda S-18	Sonda S-17	SUMA			
1	GKP 0°, 1m od instalacji radiokomunikacyjnej	2	1,4	1,4	1,4	2.5	0.09	50°46'16,2" 16°20'0,9"
2	GKP 0°, 20m od instalacji radiokomunikacyjnej	2	1,5	1,5	1,5	2.6	0.09	50°46'16,8" 16°20'0,9"
3	GKP 0°, 40m od instalacji radiokomunikacyjnej	0,3-2,0	<1,0*	<1,0*	<1,0*	1.8	0.06	50°46'17,5" 16°20'0,9"
4	GKP 0°, 60m od instalacji radiokomunikacyjnej	0,3-2,0	<1,0*	<1,0*	<1,0*	1.8	0.06	50°46'18,1" 16°20'0,9"
5	GKP 0°, 80m od instalacji radiokomunikacyjnej	0,3-2,0	<1,0*	<1,0*	<1,0*	1.8	0.06	50°46'18,8" 16°20'0,9"
6	GKP 120°, 1m od instalacji radiokomunikacyjnej	2	1,3	1,3	1,3	2.3	0.08	50°46'15,7" 16°20'1,4"
7	GKP 120°, 20m od instalacji radiokomunikacyjnej	2	1,4	1,4	1,4	2.5	0.09	50°46'15,4" 16°20'2,3"
8	GKP 120°, 40m od instalacji radiokomunikacyjnej	2	1,5	1,5	1,5	2.6	0.09	50°46'15,1" 16°20'3,2"
9	GKP 120°, 60m od instalacji radiokomunikacyjnej	2	1,6	1,6	1,6	2.8	0.1	50°46'14,7" 16°20'4,0"
10	GKP 120°, 80m od instalacji radiokomunikacyjnej	2	1,7	1,7	1,7	3	0.11	50°46'14,4" 16°20'4,9"
11	GKP 145°, 1m od instalacji radiokomunikacyjnej	2	1,3	1,3	1,3	2.3	0.08	50°46'15,6" 16°20'1,3"
12	GKP 145°, 20m od instalacji radiokomunikacyjnej	2	1,3	1,3	1,3	2.3	0.08	50°46'15,1" 16°20'1,8"
13	GKP 145°, 40m od instalacji radiokomunikacyjnej	2	1,4	1,4	1,4	2.5	0.09	50°46'14,5" 16°20'2,4"
14	GKP 187°, 1m od instalacji radiokomunikacyjnej	2	1,3	1,3	1,3	2.3	0.08	50°46'15,6" 16°20'0,9"
15	GKP 187°, 20m od instalacji radiokomunikacyjnej	2	1,4	1,4	1,4	2.5	0.09	50°46'15,0" 16°20'0,7"
16	GKP 196°, 1m od instalacji radiokomunikacyjnej	0,3-2,0	<1,0*	<2.7*	<2.7*	4.9	0.17	50°46'15,6" 16°20'0,8"

Sprawozdanie z badań bez pisemnej zgody laboratorium nie może być powielane inaczej niż w całości.
Wynik przedstawione w niniejszym sprawozdaniu odnoszą się wyłącznie do badanego obiektu i do warunków i konfiguracji urządzeń w dniu wykonywania pomiarów.

17	GKP 196°, 20m od instalacji radiokomunikacyjnej	0,3-2,0	<1,0*	<2.7*	<2.7*	4.9	0.17	50°46'15,0" 16°20'0,5"
18	GKP 196°, 40m od instalacji radiokomunikacyjnej	0,3-2,0	<1,0*	<2.7*	<2.7*	4.9	0.17	50°46'14,3" 16°20'0,2"
19	GKP 240°, 1m od instalacji radiokomunikacyjnej	2	1,6	1,6	1,6	2.8	0.1	50°46'15,8" 16°20'0,5"
20	GKP 240°, 20m od instalacji radiokomunikacyjnej	2	1,5	1,5	1,5	2.6	0.09	50°46'15,4" 16°19'59,7"
21	GKP 240°, 40m od instalacji radiokomunikacyjnej	2	1,4	1,4	1,4	2.5	0.09	50°46'15,1" 16°19'58,8"
22	GKP 240°, 60m od instalacji radiokomunikacyjnej	2	1,2	1,2	1,2	2.1	0.08	50°46'14,7" 16°19'57,9"
23	GKP 240°, 80m od instalacji radiokomunikacyjnej	2	1,2	1,2	1,2	2.1	0.08	50°46'14,4" 16°19'57,0"
24	PPP-azymut 252°, 54m. od środka wieży	2	1,5	1,5	1,5	2.6	0.09	50°46'15,4" 16°19'58,3"
25	PPP-azymut 347°, 72m. od środka wieży	0,3-2,0	<1,0*	<1,0*	<1,0*	1.8	0.06	50°46'18,2" 16°20'0,1"
26	PPP-azymut 24°, 44m. od środka wieży	2	1,3	1,3	1,3	2.3	0.08	50°46'17,2" 16°20'1,8"
27	PPP-azymut 111°, 65m. od środka wieży	2	1,6	1,6	1,6	2.8	0.1	50°46'15,1" 16°20'4,0"
28	PPP-azymut 170°, 50m. od środka wieży	2	1,3	1,3	1,3	2.3	0.08	50°46'14,3" 16°20'1,4"
29	PPP-azymut 229°, 75m. od środka wieży	2	1,3	1,3	1,3	2.3	0.08	50°46'14,2" 16°19'58,0"
-	GKP 0°, 250m. od środka anten sektorowych	0,3-2,0	<1,0*	<1,0*	<1,0*	1.8	0.06	50°46'24,0" 16°20'0,9"
-	GKP 0°, 410m. od środka anten sektorowych	0,3-2,0	<1,0*	<1,0*	<1,0*	1.8	0.06	50°46'29,1" 16°20'0,9"
-	GKP 120°, 250m. od środka anten sektorowych	0,3-2,0	<1,0*	<1,0*	<1,0*	1.8	0.06	50°46'11,9" 16°20'11,6"
-	GKP 120°, 410m. od środka anten sektorowych	0,3-2,0	<1,0*	<1,0*	<1,0*	1.8	0.06	50°46'9,3" 16°20'18,5"
-	GKP 240°, 275m. od środka anten sektorowych	0,3-2,0	<1,0*	<1,0*	<1,0*	1.8	0.06	50°46'11,5" 16°19'49,1"
-	GKP 240°, 410m. od środka anten sektorowych	0,3-2,0	<1,0*	<1,0*	<1,0*	1.8	0.06	50°46'9,3" 16°19'43,3"

Pole magnetyczne (wyznaczone na podstawie pomiaru wartości natężenia pola elektrycznego)

Nr pionu	Opis umiejscowienia pionu (punktu) pomiarowego	Wysokość pomiaru [m]	Wartość natężenia pola magnetycznego H [A/m] ¹			Wartość natężenia pola magnetycznego o po uwzględnieniu poprawek pomiarowych powiększona o niepewność pomiaru ⁴ H [A/m]	Wskaźnikowa wartość poziomu emisji pól elektromagnetycznych WM _H ³	Współrzędne geograficzne pionu (punktu) pomiarowego ²
			Sonda S-18	Sonda S-17	SUMA			
1	GKP 0°, 1m od instalacji radiokomunikacyjnej	2	0.004	0.004	0.004	0.007	0.09	50°46'16,2" 16°20'0,9"
2	GKP 0°, 20m od instalacji radiokomunikacyjnej	2	0.004	0.004	0.004	0.007	0.1	50°46'16,8" 16°20'0,9"
3	GKP 0°, 40m od instalacji radiokomunikacyjnej	0,3-2,0	<0.003*	<0.003*	<0.003*	0.005	0.06	50°46'17,5" 16°20'0,9"

Sprawozdanie z badań bez pisemnej zgody laboratorium nie może być powielane inaczej niż w całości.
Wynik przedstawione w niniejszym sprawozdaniu odnoszą się wyłącznie do badanego obiektu i do warunków i konfiguracji urządzeń w dniu wykonywania pomiarów.

4	GKP 0°, 60m od instalacji radiokomunikacyjnej	0,3-2,0	<0.003*	<0.003*	<0.003*	0.005	0.06	50°46'18,1" 16°20'0,9"
5	GKP 0°, 80m od instalacji radiokomunikacyjnej	0,3-2,0	<0.003*	<0.003*	<0.003*	0.005	0.06	50°46'18,8" 16°20'0,9"
6	GKP 120°, 1m od instalacji radiokomunikacyjnej	2	0.003	0.003	0.003	0.006	0.08	50°46'15,7" 16°20'1,4"
7	GKP 120°, 20m od instalacji radiokomunikacyjnej	2	0.004	0.004	0.004	0.007	0.09	50°46'15,4" 16°20'2,3"
8	GKP 120°, 40m od instalacji radiokomunikacyjnej	2	0.004	0.004	0.004	0.007	0.1	50°46'15,1" 16°20'3,2"
9	GKP 120°, 60m od instalacji radiokomunikacyjnej	2	0.004	0.004	0.004	0.007	0.1	50°46'14,7" 16°20'4,0"
10	GKP 120°, 80m od instalacji radiokomunikacyjnej	2	0.005	0.005	0.005	0.008	0.11	50°46'14,4" 16°20'4,9"
11	GKP 145°, 1m od instalacji radiokomunikacyjnej	2	0.003	0.003	0.003	0.006	0.08	50°46'15,6" 16°20'1,3"
12	GKP 145°, 20m od instalacji radiokomunikacyjnej	2	0.003	0.003	0.003	0.006	0.08	50°46'15,1" 16°20'1,8"
13	GKP 145°, 40m od instalacji radiokomunikacyjnej	2	0.004	0.004	0.004	0.007	0.09	50°46'14,5" 16°20'2,4"
14	GKP 187°, 1m od instalacji radiokomunikacyjnej	2	0.003	0.003	0.003	0.006	0.08	50°46'15,6" 16°20'0,9"
15	GKP 187°, 20m od instalacji radiokomunikacyjnej	2	0.004	0.004	0.004	0.007	0.09	50°46'15,0" 16°20'0,7"
16	GKP 196°, 1m od instalacji radiokomunikacyjnej	0,3-2,0	<0.003*	<u><0.007*</u>	<0.007*	0.013	0.18	50°46'15,6" 16°20'0,8"
17	GKP 196°, 20m od instalacji radiokomunikacyjnej	0,3-2,0	<0.003*	<u><0.007*</u>	<0.007*	0.013	0.18	50°46'15,0" 16°20'0,5"
18	GKP 196°, 40m od instalacji radiokomunikacyjnej	0,3-2,0	<0.003*	<u><0.007*</u>	<0.007*	0.013	0.18	50°46'14,3" 16°20'0,2"
19	GKP 240°, 1m od instalacji radiokomunikacyjnej	2	0.004	0.004	0.004	0.007	0.1	50°46'15,8" 16°20'0,5"
20	GKP 240°, 20m od instalacji radiokomunikacyjnej	2	0.004	0.004	0.004	0.007	0.1	50°46'15,4" 16°19'59,7"
21	GKP 240°, 40m od instalacji radiokomunikacyjnej	2	0.004	0.004	0.004	0.007	0.09	50°46'15,1" 16°19'58,8"
22	GKP 240°, 60m od instalacji radiokomunikacyjnej	2	0.003	0.003	0.003	0.006	0.08	50°46'14,7" 16°19'57,9"
23	GKP 240°, 80m od instalacji radiokomunikacyjnej	2	0.003	0.003	0.003	0.006	0.08	50°46'14,4" 16°19'57,0"
24	PPP-azymut 252°, 54m. od środka wieży	2	0.004	0.004	0.004	0.007	0.1	50°46'15,4" 16°19'58,3"
25	PPP-azymut 347°, 72m. od środka wieży	0,3-2,0	<0.003*	<0.003*	<0.003*	0.005	0.06	50°46'18,2" 16°20'0,1"
26	PPP-azymut 24°, 44m. od środka wieży	2	0.003	0.003	0.003	0.006	0.08	50°46'17,2" 16°20'1,8"
27	PPP-azymut 111°, 65m. od środka wieży	2	0.004	0.004	0.004	0.007	0.1	50°46'15,1" 16°20'4,0"
28	PPP-azymut 170°, 50m. od środka wieży	2	0.003	0.003	0.003	0.006	0.08	50°46'14,3" 16°20'1,4"
29	PPP-azymut 229°, 75m. od środka wieży	2	0.003	0.003	0.003	0.006	0.08	50°46'14,2" 16°19'58,0"

Sprawozdanie z badań bez pisemnej zgody laboratorium nie może być powielane inaczej niż w całości.
Wynik przedstawione w niniejszym sprawozdaniu odnoszą się wyłącznie do badanego obiektu i do warunków i konfiguracji urządzeń w dniu wykonywania pomiarów.

-	GKP 0°, 250m.od środką anten sektorowych	0,3-2,0	<0.003 *	<0.003 *	<0.003*	0.005	0.06	50°46'24,0" 16°20'0,9"
-	GKP 0°, 410m.od środką anten sektorowych	0,3-2,0	<0.003 *	<0.003 *	<0.003*	0.005	0.06	50°46'29,1" 16°20'0,9"
-	GKP 120°, 250m.od środką anten sektorowych	0,3-2,0	<0.003 *	<0.003 *	<0.003*	0.005	0.06	50°46'11,9" 16°20'11,6"
-	GKP 120°, 410m.od środką anten sektorowych	0,3-2,0	<0.003 *	<0.003 *	<0.003*	0.005	0.06	50°46'9,3" 16°20'18,5"
-	GKP 240°, 275m.od środką anten sektorowych	0,3-2,0	<0.003 *	<0.003 *	<0.003*	0.005	0.06	50°46'11,5" 16°19'49,1"
-	GKP 240°, 410m.od środką anten sektorowych	0,3-2,0	<0.003 *	<0.003 *	<0.003*	0.005	0.06	50°46'9,3" 16°19'43,3"

GKP – Główny Kierunek Pomiarowy

PPP – Pomocniczy Pion pomiarowy

¹ wyniki oznaczone * są wynikami poniżej czułości zestawu pomiarowego

² współrzędne geograficzne pozyskane metodą obliczeniową w oparciu o pomiar punktu referencyjnego

³ do wyznaczenia wartości wskaźnikowej W_{ME} i W_{MH} przyjęto na podstawie uzgodnień z klientem oraz rozpoznania źródeł, jako wartości dopuszczalne pola elektrycznego i magnetycznego odpowiednio 28 V/m i 0,073 A/m.

⁴ do wyznaczenia niepewności dla wyników poniżej czułości zestawu pomiarowego, przyjęto niepewność dla minimalnej wartości z zakresu pomiarowego.

⁵ maksymalna wartość chwilowa

Niepewność oszacowano zgodnie z dokumentem P-03 „Procedura nadzoru nad wyposażeniem” w postaci niepewności rozszerzonej wynikającej z niepewności standardowej pomnożonej przez współczynnik rozszerzenia $k=2$.

Całkowita szacowana niepewność rozszerzona składowej E wynosi odpowiednio:

sonda S-18: 26.2% dla częstotliwości do 3 GHz, sonda S-17: 28.8% dla częstotliwości do 3 GHz

Wyniki oznaczone podkreśleniem dotyczą pomiaru dla częstotliwości pola EM – 80 GHz, dla którego granica wykrywalności wynosi $<2.7 \cdot V/m$

Dla przedmiotowych pomiarów zlecniodawca określił poprawkę pomiarową = 1.4.

Umiejscowienie pionów (punktów) pomiarowych przedstawiono w nr 2 do niniejszego sprawozdania.

10. Omówienie wyników pomiarów

Wyniki pomiarów uzyskane zostały przy uwzględnieniu poprawek pomiarowych przekazanych przez zlecniodawcę, umożliwiających uwzględnienie maksymalnych parametrów pracy instalacji zlecniodawcy oraz innych operatorów występujących w obszarze pomiarowym.

W wyniku zastosowania sposobu sprawdzenia dotrzymania dopuszczalnych poziomów pól elektromagnetycznych w środowisku, zgodnie pkt 25 ppkt 1 Rozporządzenia Ministra Klimatu z dnia 17 lutego 2020 r. (Dz. U. 2020, poz. 258), w związku z tym, że żadna z wartości wskaźnikowych, udokumentowanych w tabelach w pkt. 9 nie przekracza wartości 1, stwierdza się, że w miejscach, w których wykonano pomiary w otoczeniu instalacji radiokomunikacyjnej 49573 (79073N!) PWA_WALBRZYCH_STRZEGOMSKA, dopuszczalne poziomy pól elektromagnetycznych w środowisku należy uznać za dotrzymane.

11. Podstawa prawna

- 1) Ustawa z dnia 27 kwietnia 2001 r. Prawo ochrony środowiska (t. j. Dz. U. z 2020 r., poz. 1219 z późn.zm.)
- 2) Rozporządzenie Ministra Zdrowia z dnia 17 grudnia 2019 r. w sprawie dopuszczalnych poziomów pól elektromagnetycznych w środowisku (Dz. U. 2019, poz. 2448)
- 3) Rozporządzenie Ministra Klimatu z dnia 17 lutego 2020 r. w sprawie sposobów sprawdzania dotrzymania dopuszczalnych poziomów pól elektromagnetycznych w środowisku (Dz. U. 2020, poz. 258),
- 4) Akredytacja nr AB 419 wydana przez Polskie Centrum Akredytacji (wydanie 17, z dnia 13 stycznia 2021r.).

12. Spis załączników

Załącznik 1. Lokalizacja obiektu badań

Załącznik 2. Usytuowanie pionów (punktów) pomiarowych

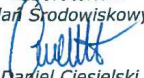
Sprawozdanie z badań bez pisemnej zgody laboratorium nie może być powielane inaczej niż w całości.

Wynik przedstawione w niniejszym sprawozdaniu odnoszą się wyłącznie do badanego obiektu i do warunków i konfiguracji urządzeń w dniu wykonywania pomiarów.

Załącznik 3. Dokumentacja fotograficzna obiektu badań

13. Data wydania i autoryzowania sprawozdania - 1 marca 2021.

Obliczenia i sprawozdanie wykonał :

NetWorkSI Sp. z o.o.
Specjalista ds. pomiarów PEM
Laboratorium
Badań Środowiskowych

Daniel Ciesielski

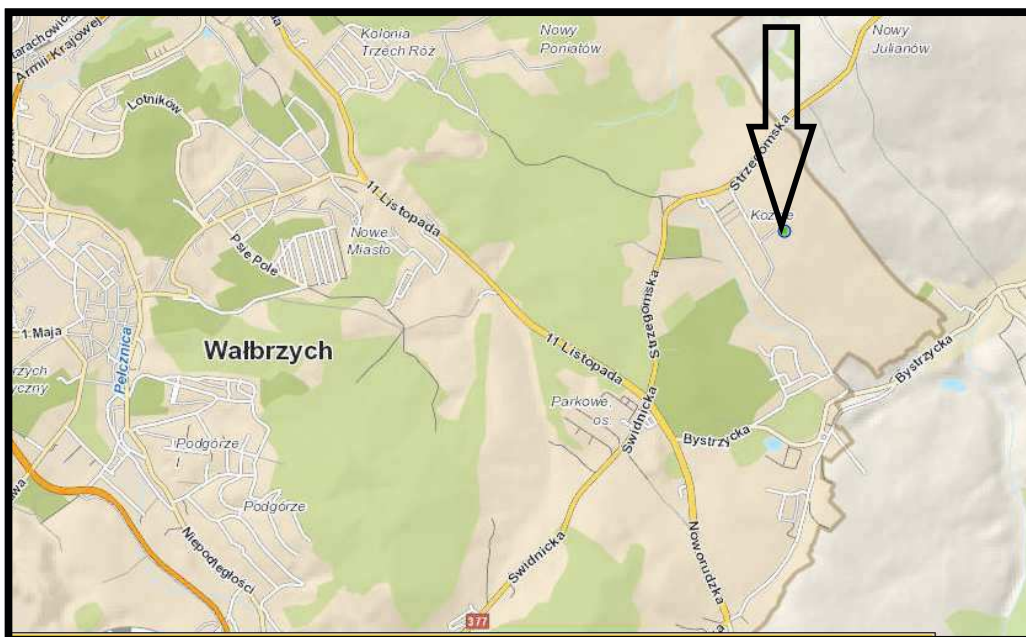
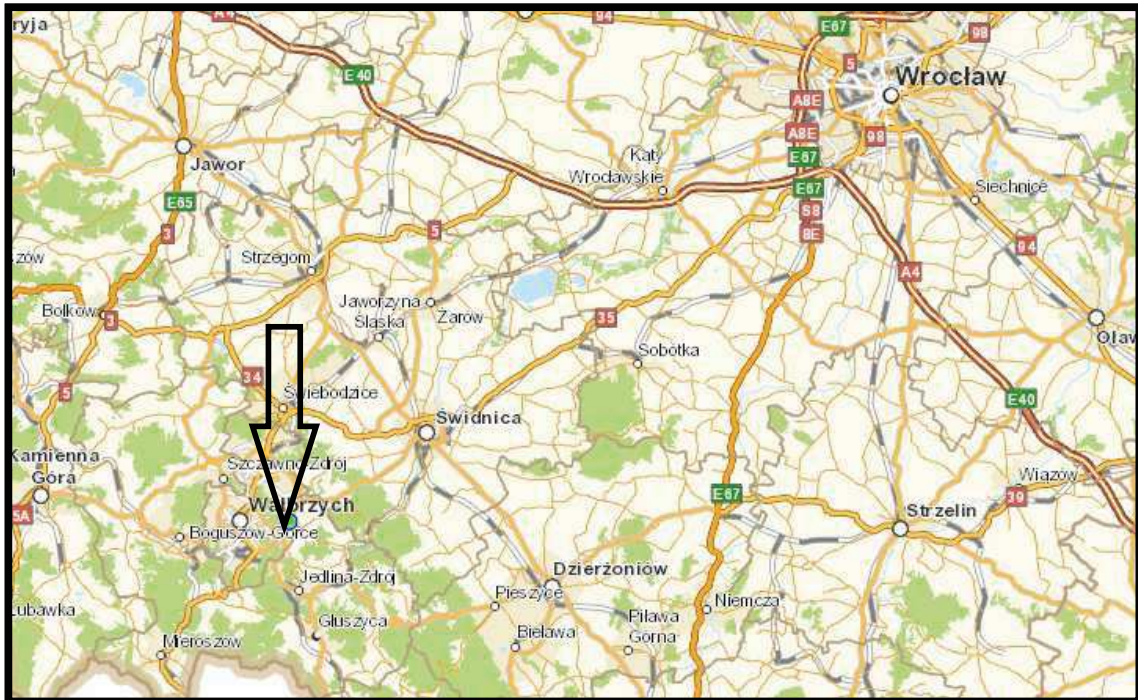
Sprawozdanie autoryzował:

NetWorkSI Sp. z o.o.
Starszy Specjalista ds. Pomiarów
Laboratorium
Badań Środowiskowych

Maciej Harbaciewicz

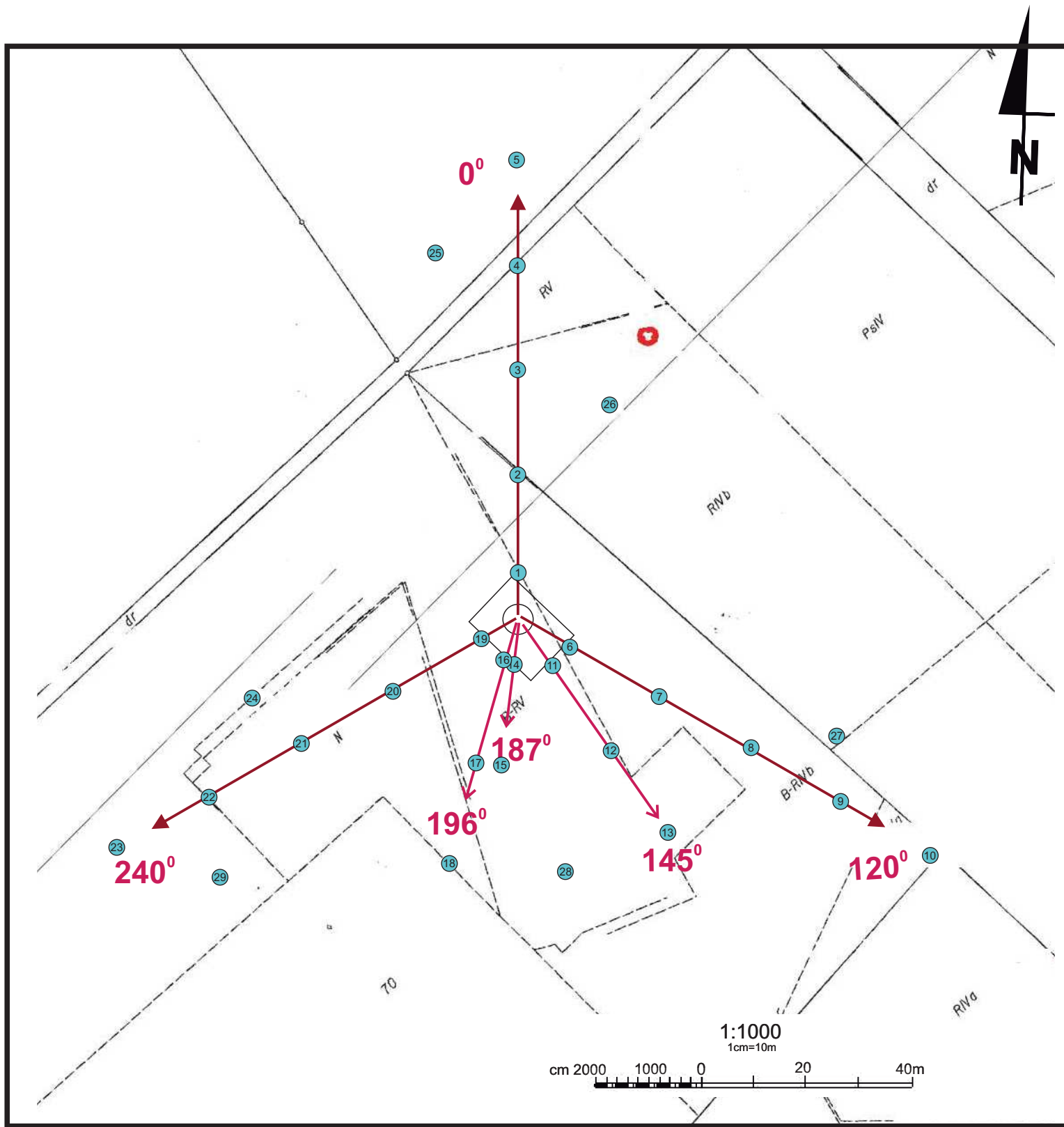
Koniec sprawozdania

Sprawozdanie z badań bez pisemnej zgody laboratorium nie może być powielane inaczej niż w całości.
Wynik przedstawione w niniejszym sprawozdaniu odnoszą się wyłącznie do badanego obiektu i do warunków i konfiguracji urządzeń w dniu wykonywania pomiarów.



Załącznik nr 1	INSTALACJA RADIOKOMUNIKACYJNA T-Mobile Polska S.A. 49573 (79073N!) PWA_WALBRZYCH_STRZEGOMSKA Lokalizacja instalacji radiokomunikacyjnej
-----------------------	---

Sprawozdanie z badań bez pisemnej zgody laboratorium nie może być powielane inaczej niż w całości.
Wynik przedstawione w niniejszym sprawozdaniu odnoszą się wyłącznie do badanego obiektu i do warunków i konfiguracji urządzeń w dniu wykonywania pomiarów.



Załącznik nr 2	INSTALACJA RADIOKOMUNIKACYJNA T-Mobile Polska S.A. 49573 (79073N!) PWA_WALBRZYCH_STRZEGOMSKA Usytuowanie pionów pomiarowych w otoczeniu instalacji radiokomunikacyjnej
SKALA 1:1000	Legenda: <ul style="list-style-type: none"> ⊗ Pion pomiarowy → Kierunek oddziaływania anten sektorowych → Kierunek oddziaływania anten radioliniowych

Sprawozdanie z badań bez pisemnej zgody laboratorium nie może być powielane inaczej niż w całości.
Wynik przedstawione w niniejszym sprawozdaniu odnoszą się wyłącznie do badanego obiektu i do warunków i konfiguracji urządzeń w dniu wykonywania pomiarów.



Załącznik nr 3

INSTALACJA RADIOKOMUNIKACYJNA T-Mobile Polska S.A. 49573 (79073N!) PWA_WALBRZYCH_STRZEGOMSKA
Zdjęcie instalacji radiokomunikacyjnej

Sprawozdanie z badań bez pisemnej zgody laboratorium nie może być powielane inaczej niż w całości.
Wynik przedstawione w niniejszym sprawozdaniu odnoszą się wyłącznie do badanego obiektu i do warunków i konfiguracji urządzeń w dniu wykonywania pomiarów.